

Título del Trabajo fin de máster

Autor: Alan García Pérez

Director: José Fulano Sutano

Dpto. de Ingeniería del Conocimiento
Grupo de Inteligencia Animal

Fecha: XX/XX/20XX



Índice

Introducción

Teoría

Resultados

Primera sección

Primera subsección

Conclusiones

Proyectos

Publicaciones

Bibliografía



Índice

Introducción

Teoría

Resultados

Primera sección

Conclusiones

Proyectos

Publicaciones



Introducción

- Se pueden citar:
 - Libros [1]
 - Artículos en revista [2]
 - Ponencias en congresos [3]
 - Tesis doctorales [4]
 - Etc.



Índice

Introducción

Teoría

Resultados

Primera sección

Conclusiones

Proyectos

Publicaciones



Teoría

Se pueden insertar ecuaciones pero sin numerarlas:

$$\int_0^{r_2} F(r, \varphi) dr d\varphi = [\sigma r_2 / (2\mu_0)] \cdot \int_0^\infty \exp\{-\lambda|z_j - z_i|\} \lambda^{-1} J_1(\lambda r_2) J_0(\lambda r_i) d\lambda$$



Teoría

Y tablas:

Symbol	Quantity	Conv. from Gaussian and CGS EMU to SI
Φ	magnetic flux	$1 \text{ Mx} \rightarrow 10^{-8} \text{ Wb} = 10^{-8} \text{ V} \cdot \text{s}$
B	magnetic flux density, magnetic induction	$1 \text{ G} \rightarrow 10^{-4} \text{ T} = 10^{-4} \text{ Wb/m}^2$
H	magnetic field strength	$1 \text{ Oe} \rightarrow 10^3/(4\pi) \text{ A/m}$
M	magnetic moment	$1 \text{ erg/G} = 1 \text{ emu} \rightarrow 10^3 \text{ A} \cdot \text{m}^2 = 10^{-3} \text{ J/T}$
M	magnetization	$1 \text{ erg}/(\text{G} \cdot \text{cm}^3) = 1 \text{ emu/cm}^3 \rightarrow 10^3 \text{ A/m}$
$4\pi M$	magnetization	$1 \text{ G} \rightarrow 10^3/(4\pi) \text{ A/m}$

Table: Unidades para las propiedades magnéticas



Índice

Introducción

Teoría

Resultados

Primera sección

Conclusiones

Proyectos

Publicaciones



Resultados

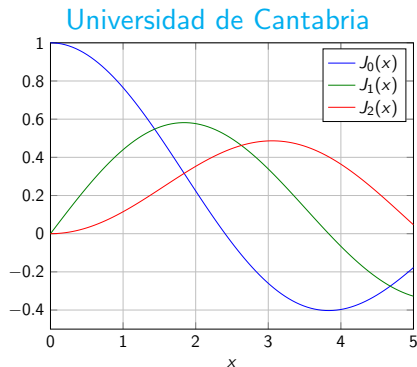


Figure: Figura de ejemplo. Funciones de Bessel de orden 0, 1 y 2.



Resultados

Resultados

- Primer item



Resultados

Resultados

- Primer item
- Segundo item



Resultados

Resultados

- Primer item
- Segundo item
- Tercer item



Resultados

Resultados

- Primer item
- Segundo item
- Tercer item

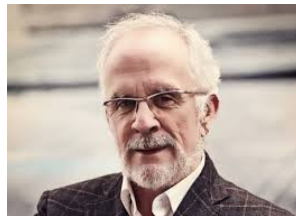
1. Primer item



Resultados

Resultados

- Primer item
 - Segundo item
 - Tercer item
1. Primer item
 2. Segundo item



Resultados

Resultados

- Primer item
 - Segundo item
 - Tercer item
1. Primer item
 2. Segundo item
 3. Tercer item



Resultados

Escribimos una fórmula desplegada progresivamente

Fórmula



Resultados

Escribimos una fórmula desplegada progresivamente

Fórmula

$$V(x) =$$



Resultados

Escribimos una fórmula desplegada progresivamente

Fórmula

$$V(x) = A \int_0^{\infty} \frac{dr}{r} +$$



Resultados

Escribimos una fórmula desplegada progresivamente

Fórmula

$$V(x) = A \int_0^{\infty} \frac{dr}{r} + B \int_0^{\infty} \frac{dr}{r^2} +$$



Resultados

Escribimos una fórmula desplegada progresivamente

Fórmula

$$V(x) = A \int_0^{\infty} \frac{dr}{r} + B \int_0^{\infty} \frac{dr}{r^2} + C \int_0^{\infty} \left(\frac{1}{r^6} - \frac{1}{r^{12}} \right) dx$$



Resultados

Se muestra la fórmula de forma diferente

Fórmula

$$V(x) = A \int_0^{\infty} \frac{dr}{r} + B \int_0^{\infty} \frac{dr}{r^2} + C \int_0^{\infty} \left(\frac{1}{r^6} - \frac{1}{r^{12}} \right) dx$$



Resultados

Se muestra la fórmula de forma diferente

Fórmula

$$V(x) = A \int_0^{\infty} \frac{dr}{r} + B \int_0^{\infty} \frac{dr}{r^2} + C \int_0^{\infty} \left(\frac{1}{r^6} - \frac{1}{r^{12}} \right) dx$$



Resultados

Se muestra la fórmula de forma diferente

Fórmula

$$V(x) = A \int_0^{\infty} \frac{dr}{r} + B \int_0^{\infty} \frac{dr}{r^2} + C \int_0^{\infty} \left(\frac{1}{r^6} - \frac{1}{r^{12}} \right) dx$$



Resultados

Se muestra la fórmula de forma diferente

Fórmula

$$V(x) = A \int_0^{\infty} \frac{dr}{r} + B \int_0^{\infty} \frac{dr}{r^2} + C \int_0^{\infty} \left(\frac{1}{r^6} - \frac{1}{r^{12}} \right) dx$$



Resultados

Otra forma un poco más compleja:

Ecuación

$$V(x) =$$



Resultados

Otra forma un poco más compleja:

Ecuación

$$V(x) = A \int_0^{\infty} \frac{dr}{r} +$$

Dipolo



Resultados

Otra forma un poco más compleja:

Ecuación

$$V(x) = A \int_0^{\infty} \frac{dr}{r} + B \int_0^{\infty} \frac{dr}{r^2} +$$

Coulomb



Resultados

Otra forma un poco más compleja:

Ecuación

$$V(x) = A \int_0^{\infty} \frac{dr}{r} + B \int_0^{\infty} \frac{dr}{r^2} + C \int_0^{\infty} \left(\frac{1}{r^6} - \frac{1}{r^{12}} \right) dx$$

Van der Waals



Resultados

Otra forma reemplazando elementos:



Resultados

Otra forma reemplazando elementos:

Ecuación 1

$$V(x) = A \int_0^{\infty} \frac{dr}{r} \rightarrow \text{Dipolo}$$



Resultados

Otra forma reemplazando elementos:

Ecuación 2

$$W(x) = B \int_0^{\infty} \frac{dr}{r^2} + C \int_0^{\infty} \left(\frac{1}{r^6} - \frac{1}{r^{12}} \right) dx \longrightarrow \text{Coulomb} + \text{WdW}$$



Resultados

Otra forma reemplazando elementos:

Ecuación 2

$$W(x) = B \int_0^{\infty} \frac{dr}{r^2} + C \int_0^{\infty} \left(\frac{1}{r^6} - \frac{1}{r^{12}} \right) dx$$

otro bloque

Otras cosas...



Resultados: Vídeos

Una película incrustada

Nota: Es esencial cargar el paquete movie15 en el preámbulo Mejor usar enlace URL



Índice

Introducción

Teoría

Resultados

Primera sección

Primera subsección

Conclusiones

Proyectos

Publicaciones



Índice

Primera sección

Primera subsección



Índice

Introducción

Teoría

Resultados

Primera sección

Conclusiones

Proyectos

Publicaciones



Conclusiones y líneas futuras

- Lista de conclusiones y líneas futuras



Índice

Introducción

Teoría

Resultados

Primera sección

Conclusiones

Proyectos

Publicaciones



Proyectos

- Los proyectos de investigación relacionados con el trabajo de la tesina son:
 -



Índice

Introducción

Teoría

Resultados

Primera sección

Conclusiones

Proyectos

Publicaciones



Publicaciones

- Las publicaciones a las que ha dado lugar este trabajo son (indicar si publicadas, aceptadas, o enviadas):
 -



Índice

Introducción

Teoría

Resultados

Primera sección

Conclusiones

Proyectos

Publicaciones



Bibliografía

- [1] J. T. Londergan, J. P. Carini, and D. P. Murdock.
Binding and Scattering in Two-Dimensional Systems: Application to Quantum Wires, Waveguides and Photonic Crystals.
Springer-Verlag, New York, 1999.
- [2] F. Alessandri, M. Dionigi, and R. Sorrentino.
A fullwave CAD tool for waveguide components using a high speed direct optimizer.
IEEE Trans. Microwave Theory Tech., 43:2046–2052, 1995.
- [3] A. Boettger, Th. Sieverding, P. Krauss, and F. Arndt.
Fast boundary contour mode-matching method for the CAD of circular post coupled resonator filters.
In *Proc. of the 28th European Microwave Conference*, pages 712–715, Oct. 1998.
- [4] J.C. Cruellas.
Análisis de objetos mediante la onda fugaz y realimentación intrínseca.
PhD thesis, U. Politécnica de Cantabria, Santander, 2009.

